

**دراسة الخواص النووية لنظير  $Xe-112$  الزوجية باستخدام نموذج البوزوونات  
المتقاعلة الاول (IBM-1)\***

تاريخ القبول: 3/1/2015

تاريخ الاستلام: 29/6/2015

ابراهيم كاظم جبار العجمي  
جامعة بابل/كلية العلوم/قسم الفيزياء

محمد عبدالامير الشريفي  
جامعة بابل/كلية العلوم/قسم الفيزياء

Email : [ibraheemalajmy@gmeil.com](mailto:ibraheemalajmy@gmeil.com)

\_\_\_\_\_

تم في هذا البحث دراسة نظير الزينون  $Xe^{112}$  باستخدام نموذج البوزوونات المتقاعلة الاول IBM-1 وتعين مستويات الطاقة ونحديد عزم رباعي القطب الكهربائي  $Q_{21}^+$  ومن البرنامج IBMT حصلنا على قيم متطابقة جدا لاحتمالية الانتقال  $B(E2)$ ، ومربع طاقة الدورانية وعزم القصور الذاتي تم حسابها. ولبرم والتآثر بعض مستويات الطاقة والتي لم تحدد عمليا .

ومن ابرز نتائج مستويات غير المحددة عمليا للنظير  $Xe^{112}$  وكانت  $Mev$  (3.293 , 2.338 , 2.069 , 1.617, 1.25 , 0.658) ويزخم تماثل  $(12_2^+, 10_2^+, 8_2^+, 6_2^+, 4_2^+, 2_2^+, 0_2^+)$  على التوالي . وطبقا لبرنامج IBM-1 وجذنا النظير  $Xe-112$  نقع ضمن المنطقة الانتقالية  $SU(5) \rightarrow O(6)$  .

**الكلمات المفتاحية:** نموذج البوزوونات المتقاعلة الاول ،مستويات الطاقة ،نسبة احتمالية الانتقال ، مربع الطاقة الدورانية .

**Physics classification :** QC770-798

\* البحث مسئل من رسالة الماجستير

## المقدمة . . . . .

**Introduction**

أن محاولة فهم وتقدير الخواص الانوية وطبيعة الفاعلات بين النيوكلونات والنتائج العملية المتعلقة بها أدت إلى وضع نظريات تبني على بعض الأسس الفيزيائية المهمة لتصبح القاعدة الأنفي "الحسابات النظرية" مع إضافة عدة عوامل مؤثرة لملايين النتائج العملية إذ أن الكثير من النتائج العملية لم تتفق مع تلك النظرية لهذا وضعت النماذج النووية لوصف التركيب النووي وتستعمل الأسس الفيزيائية المهمة في التركيب كقاعدة أساسية ثم تضاف إليها العوامل المؤثرة الأخرى للحصول على التركيب الدقيق للنوى(Fine structure) مع إجراء بعض عمليات التقرير الرياضية[3].

## النماذج النووية التي وضعت لدراسة التركيب النووي

- 1- نموذج قطرة السائل (Liquid drop model)
- 2- نموذج القرشة (Shell model)
- 3- النموذج الجماعي (collective model)
- 4- نموذج البوزوونات المتفاعلة IBM

**نموذج البوزوونات المتفاعلة الأول IBM-1**

بعد أن أظهرت النماذج النووية السابقة عدم إمكانيتها في كشف وتحديد بعض الخواص النووية وعدم تطابق بعض نتائجها مع النتائج العملية التي تم الحصول عليها من دراسة الفاعلات النووية، اقترح (Iachello and Arima) عام 1974 نموذجاً نووياً جديداً يجمع ما بين نموذج القرنة والنماذج الهندسية؛ استطاع هذا النموذج أن يصف خصائص المستويات التجميعية لسفلى (Low Lying Collective Levels) في التوابع الزوجية - الزوجية.

## الجانب النظري:

في نموذج البوزوونات المتفاعلة (IBM-1) يعد كل زوج من النيوكلونات التكافؤ بوزوناً وبشكل بقية النيوكلونات القلب لها للنواة [12] وتقسم هذه البوزوونات إلى قسمين بوزون نوع S بزخم زاوي يساوي

( $L=0$ ) بوزون نوع d بزخم زاوي يساوي ( $L=0$ ) وبعطي مؤثر هاملون لهذا النموذج بالصيغة الآتية:-

$$H = \epsilon \hat{n}_d + a_0 \hat{P} \cdot \hat{P} + a_1 \hat{L} \cdot \hat{L} + a_2 \hat{Q} \cdot \hat{Q} + a_3 \hat{T}_3 \cdot \hat{T}_3 + a_4 \hat{T}_4 \cdot \hat{T}_4 \quad (1)$$

وبحسب برنامج نموذج البوزوونات المتفاعلة يقع النظير

ضمن المنطقة الا ( $SU(5) \rightarrow O(6)$ ) لذلك مؤثر الهايلوسي يأخذ الصيغة الآتية:-

$$H = \epsilon \hat{n}_d + a_0 \hat{P} \cdot \hat{P} + a_1 \hat{L} \cdot \hat{L} + a_3 \hat{T}_3 \cdot \hat{T}_3 + a_4 \hat{T}_4 \cdot \hat{T}_4 \quad (2)$$

**مؤثر الانتقال رباعي القطب الكهربائي** Electric Quadrapole Transition Operators  $T(E_2)$

يعطي مؤثر الانتقال رباعي القطب الكهربائي

بالمعادلة: [12]

$$T_{\mu}^{(E2)} = \alpha_2 [d^+ \times \tilde{s} + s^+ \times \tilde{d}]_{\mu}^{(2)} + \beta_2 [d^+ \times \tilde{d}]_{\mu}^{(2)} \quad (3)$$

إذ  $\alpha_2$  و  $\beta_2$  عواملات تصف الحدود المختلفة في المؤثر.

كما يمكن حساب معدل الانتقالات الكهرومغناطيسية Electromagnetic transition rates :[12]

$$B(E2: L_i \rightarrow L_f) = \frac{1}{(2L_i + 1)} \left| \langle L_f | T^{(E2)} | L_i \rangle \right|^2 \quad (4)$$

إذ يمثل  $\langle L_f | T^{(E2)} | L_i \rangle$  عناصر المصفوفة (Matrix) الخاصة بالانتقال (Element)  $(E2)$ .

وكذلك يحسب عزم رباعي القطب من المعادلة، [12]:

$$Q_L = \left\langle L, M_L = L \mid \sqrt{\left[ \frac{16\pi}{5} \right]} T_o^{(E2)} \mid L, M_L = L \right\rangle \quad (5)$$

إذ أن  $M_L$  يمثل مسقط  $L$  على محور التكيم وتعطى قيمته كالتالي:

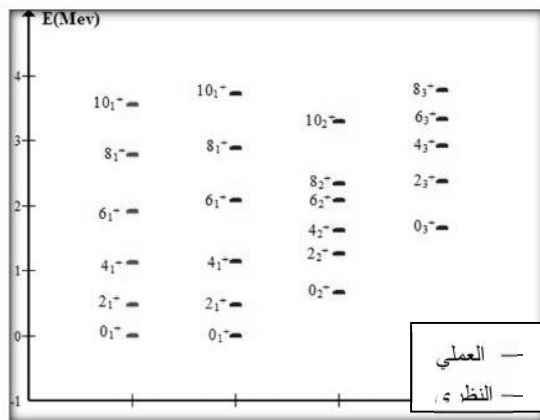
$$M_L = L, L-1, L-2, \dots, 0, \dots, 2-L, 1-L, -L$$

و عند حساب عزم رباعي القطب فإن دالة الموجة تكتب بالشكل  $\langle L, M_L = L | Q_o | L, M_L = L \rangle$  إذ تأخذ

أقصى قيمة لـ  $M_L$ .

| Isotope         | N | EPs  | P.P  | L.L  | $T_3.T_3$ | $T_4.T_4$ | SO(6) |
|-----------------|---|------|------|------|-----------|-----------|-------|
| $^{112}_{54}Xe$ | 6 | 0.09 | 0.04 | 0.03 | 0.27      | 0.03      | 1.00  |

والشكل (1) يوضح مقارنة مستويات الطاقة العملية والنظرية المحسوبة من البرنامج IBM-1.



شكل (1) مخطط لمقارنة مستويات الطاقة العملية والنظرية

#### Xe-112 للنطير

وقد تم حساب مربع الطاقة الدورانية وعزم القصور الذاتي ومقارنتها بالقيم العملية والجدول (4)

جدول (4) قيم الانتقالات النظرية والعملية [15] وعزم القصور الذاتي ومربع الطاقة الدورانية لنطير  $^{112}_{54}Xe$ .

| $i \rightarrow f$      | Theoretical        |                                      |                                  | Experimental       |                                      |                                  |
|------------------------|--------------------|--------------------------------------|----------------------------------|--------------------|--------------------------------------|----------------------------------|
|                        | $\frac{1}{E_{21}}$ | $\hbar^2\omega^2$ (Mev) <sup>2</sup> | $29/\hbar^2$ (Mev) <sup>-1</sup> | $\frac{1}{E_{21}}$ | $\hbar^2\omega^2$ (Mev) <sup>2</sup> | $29/\hbar^2$ (Mev) <sup>-1</sup> |
| $2^+ \rightarrow 0^+$  | 0.464              | 0.024                                | -3.012                           | 0.466              | 0.0241                               | -4.484                           |
| $4^+ \rightarrow 2^+$  | 0.579              | 0.037                                | -10.36                           | 0.656              | 0.097                                | -9.146                           |
| $6^+ \rightarrow 4^+$  | 0.940              | 0.198                                | -10.64                           | 0.785              | 0.148                                | -12.739                          |
| $8^+ \rightarrow 6^+$  | 0.871              | 0.182                                | -16.07                           | 0.871              | 0.185                                | -16.073                          |
| $10^+ \rightarrow 8^+$ | 0.950              | 0.229                                | -18.95                           | 0.765              | 0.139                                | -23.529                          |

وعند رسم المخطط البياني بين عزم القصور الذاتي كدالة

لأربع الطاقة الدورانية كما في الشكل (2) عند رسم

المخطط البياني بين عزم القصور الذاتي كدالة لمربع الطاقة الدورانية كما في الشكل (2)

مربع الطاقة الدورانية وعزم القصور الذاتي  
square of rotational energy and the moment of inertia

تم حساب مربع الطاقة الدورانية وعزم القصور الذاتي العملي والنطير باستخدام المعادلين الآتيين :- [16]

$$\hbar^2\omega^2 = (L^2 - L + 1) \left[ \frac{E(L \rightarrow L-2)}{2L-1} \right]^2 \quad (6)$$

$$\frac{2v}{\hbar^2} = \frac{4L-2}{E(L \rightarrow L-2)} \quad (7)$$

#### النتائج والمناقشة

تم تحديد النتاء النظير لاي منطقة انتقالية او التحديد عن طريق ايجاد نسب مستويات الطاقة العملية ومقارنتها مع القيم المسموح بها ضمن هذا النموذج وكما موضحة بالجدول رقم (1) وحصلنا على النتائج كما موضحة بالجدول رقم (2)

جدول (1): يبين نسب مستويات الطاقة النموذجية لكل تحديد. [13,14]

| Limited | $E_{11}/E_{21}$ | $E_{13}/E_{21}$ | $E_{14}/E_{21}$ | $E_{02}/E_{21}$ |
|---------|-----------------|-----------------|-----------------|-----------------|
| SU(5)   | 2               | 3               | 4               | 2               |
| SU(3)   | 3.33            | 7               | 12              | >>2             |
| O(6)    | 2.5             | 4.5             | 7               | 4.5             |

جدول (2) مستويات الطاقة العملية ونسب مستويات الطاقة لنظائر الزينون  $^{112}_{54}Xe$

| Iso             | القيم النظرية   |                 |                 | القيم العملية   |                 |                 |
|-----------------|-----------------|-----------------|-----------------|-----------------|-----------------|-----------------|
|                 | $E_{11}/E_{21}$ | $E_{13}/E_{21}$ | $E_{14}/E_{21}$ | $E_{02}/E_{21}$ | $E_{11}/E_{21}$ | $E_{13}/E_{21}$ |
| $^{112}_{54}Xe$ | 2.44            | 4.48            | 6               | 2.41            | 4.09            | 5.96            |

وعند حساب مستويات الطاقة بواسطة البرنامج حصلنا على افضل تطابق باستخدام البارامترات الموضحة بالجدول رقم (3)

جدول (3) يوضح البارامترات المستعملة بواسطة برنامج IBM-1 لحساب مستويات الطاقة النظرية

| Isotopes             | $B(E2 : 2_1^+ \rightarrow 0_1^+)$<br>$e^2 b^2$ |       | E2SD<br>(e b) | E2D<br>D<br>(e b) | SO(6) |
|----------------------|--|-------|---------------|-------------------|-------|
|                      | exp  | Theol |               |                   |       |
| $^{112}_{\Lambda}Xe$ | 0.953*   | 0.953 | 0.295<br>06   | 0                 | -1    |

ونسب احتمالية الانتقال لهذا النظير كانت قريبة جداً من التحديد  $O(6)$  وكما يبيّنه الجدول (7) الآتي

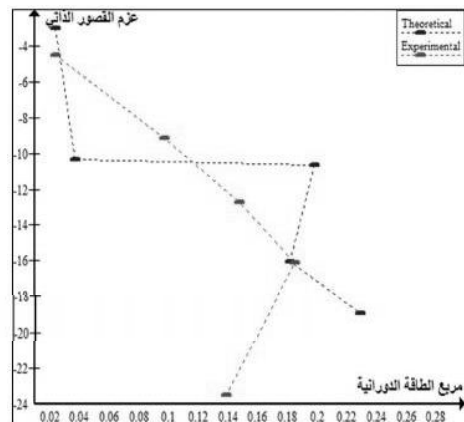
جدول (7) يوضح نسب احتمالية الانتقال  $B(E2)$  ومقارنتها مع الدالة المسومو به لنظائر الزيون  $Xe^{112}$

| Isotopes Name        | B( $\frac{e^2 b^2}{\text{نسبة}} = ?$ ) |              |              | Reference  |
|----------------------|--|--------------|--------------|------------|
|                      | SU(5)                                  | SU(3)        | O(6)         |            |
| الحد المسموح به      | 2                                      | $10/7=1.429$ | $10/7=1.429$ | Ref [29]   |
| Isotopes Name        | B( $\frac{e^2 b^2}{\text{نسبة}} = ?$ ) |              |              | Limit type |
|                      | SU(5)                                  | SU(3)        | O(6)         |            |
| $^{112}_{\Lambda}Xe$ | 1.667                                  | 1.032        | 1.3095       | U(5)-O(6)  |

#### الاستنتاج والمناقشة

إن نوى الزيون  $Xe^{112}$  الزوجية-الزوجية تتالف من (54) بروتون، (58) نيوترون، أذ تقع ضمن المنطقة الانتقالية  $SU(5) \rightarrow O(6)$  غير المستقرة نلاحظ أن فيه عدد النيوترونات أقل من عدد نصف الغلاف الرئيسي (66) (Semi Magic Number). لذا فإن عدد بوزونات النيوترونات تحسب من عدد ازواج الجسيمات (Partical) وتحتني (6) بوزونات،

بالرجوع إلى الجدول (1) الذي يبيّن المعاملات المستعملة في البرنامج IBM-code نجد إن المعامل (ε) هو المهيمن على بقية المعاملات والذي يبيّن سيطرة طاقة البوzon على جهد التفاعل بينهما بالنسبة إذ نقل قيمة (ε) مع زيادة عدد النيوترونات وذلك بسبب الزيادة الحاصلة في عدد البوزنات خارج القشرة المغلقة، وهذا يعني أن النظائر الأخيرة سوف تعاني من تشوهات نتيجة لوجود عدد كبير من النيوكليونات وعند رسم العلاقة البيانية بين عدد



شكل (2) يوضح العلاقة بين مربع الطاقة الدورانية ومربع القصور الذاتي لنظير  $Xe^{112}$

وقد كانت قيمة احتمالية الانتقال المستخرجة من البرنامج الجدول (5) يوضحها

جدول (5) قيم احتمالية الانتقال لنظير  $Xe^{112}$  المستخدمه باستعمال البرنامج IBMT-Code والقيم العمليه المقابله لها

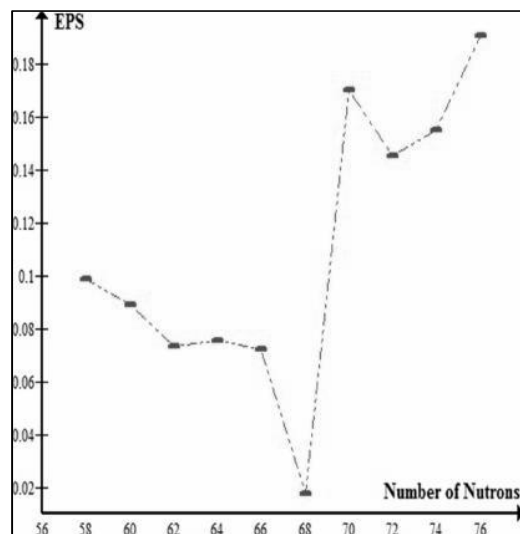
| $i \rightarrow f$         | $B(E2) \downarrow e^2 b^2$ |                |
|---------------------------|----------------------------|----------------|
|                           | القيمة النظرية             | القيمة العملية |
| $2_1^- \rightarrow 0_1^-$ | 0.953                      | 0.953          |
| $2_3^- \rightarrow 0_1^-$ | 1.093                      | -----          |
| $2_4^- \rightarrow 2_3^-$ | 1.786600                   | -----          |
| $4_1^- \rightarrow 2_1^-$ | 1.73300                    | -----          |
| $4_1^- \rightarrow 2_3^-$ | 0.47752                    | -----          |
| $4_2^- \rightarrow 2_2^-$ | 1.22654                    | -----          |
| $4_3^- \rightarrow 2_3^-$ | 1.78663                    | -----          |

لاحتمالية الانتقال سلنا افضل تطابق عند استخدام البارامترات المبيّنة بالجدول (6) الآتي

جدول (6) قيم احتمالية الانتقال  $B(E2)$  النظرية المحسوبة بواسطة برنامج IBM-1 وقيم العملية المناظرة لها

- Brentano, Phys. Rev. C36, 1225, (1987)
- [10]- B. Bochev, S. Iliev, R. Kalpakcheva, S. A. Karamian, T. Kutsarova, Feeding and Lifetimes of yrast Levels in Hf Nuclei, Nucl. Phys. A282, 159, (1976)
- [11]- Nuclear Data Sheet [www.nndc.nsl.gov](http://www.nndc.nsl.gov) (2015)
- [12] Scholten, Iachello states III. the transition form SU(5) to SU(3). Ann. Phys., 115, 325-366
- [13]- S.H.Trier," A study of nuclear Structure of  $^{160-180}\text{Hf}$  even-even Isotopes by the IBM-1.", M. Sc. Thesis, Babylon University, (2006).
- [14]- R. Casten and D. Warner, Rev. Mod. Phys. 60, 389, (1988).
- [15]- Nuclear Data Sheet .[www.nndc.nsl.gov](http://www.nndc.nsl.gov) (2014)
- [16]- Ts.Venkova and W. Andrejtscheff, Atomic Data and Nuclear Data Tables, vol. 26, 95, (1981)

النيوترونات وقيمة EPS لكل النظائر نجد اقل قيمة تكون للنظير  $\text{Xe}^{122}$  كما في الشكل (3).  
اما بالنسبة لنظير  $\text{Xe}^{112}$  وبسبب الطبيعة الانتقالية بين التحديدين (6)-SU(5)-O(6) نجد أن المعلم (P.P) يبدأ بالظهور حتى يصبح العامل المسيطر في التحديد(6) O(6) كلما اقترب النظير من التحديد (6)-O(6). فيما يخص العامل الثالث (L.L) فإنه يزداد مع زيادة قيم (N).



شكل(3) يبين علاقة البارامتر EPS بعدد  
النيوترونات Number of Neutrons

#### References

- [1]- C. F. Von Weizsacker, Z. Phys. Vol. 6, 431, (1935)
- [2]- W. J. Elsasser, Phys. Vol. 4, 549, (1933)
- [3]- W. Meyerhof, "Elements of Nuclear Phys.", Mc Graw-Hill, (1967)
- [4]- H. A. Enge. " Introduction to nuclear Phys. ", (1983)
- [5]- A. Bohr and B. R. Mottelson, Nuclear Structure, Vol. 11, (1975), Benjamin, Reading, Massachusetts
- [6]- K. S. Krane, " Introductory Nuclear Phys. ", (1988), John Wiley and Sons
- [7]- F. Iachello, and A. Arima, Phys. , Lett. B53, 309, (1974)
- [8]- A. Arima, T. Otsuka, F. Iachello, and I. Talmi, Phys. , Lett. B66, 205, (1977)
- [9]- R. F. Casten, A. Gelberg and P. Von

\*A Study of Nuclear Properties of 112-Xe Even-Even Isotopes By The  
Interacting Boson Model-1 (IBM-1)

Received: 29/6/2015

accepted:16/8/2015

Mohammad Abd Al-Ammeer Al-Sharefi

Ibraheem Kazem Jabar

Department of Physics / College of Science/ Babylon University

Email : ibraheemalajmy@gmeil.com

**Abstract:-**

In this search, 112-Xe isotope has been studies by the interacting boson model (IBM-1) to determine the energy levels and the electric quadrupole moments  $Q_{21+}$ , In addition, by the program IBMT was used for evaluating the reduced transition probability  $B(E2)$ . The square of rotational energy and the moment of inertia were calculated . spin and parity for some energy levels, which were never determined experimentally . It was found that the of (3.293 , 2.338 , 2.069, 1.617 , 1.25, 0.658 )MeV for 112Xe spin and parity of are (122+,102+,82+,62+,42+,22+,02+), respectively.

According to the IBM, It was found that the 112-Xe isotope the belong to the transition region  $SU(5) \rightarrow O(6)$ .

**Keywords:** Interacting Boson Model (IBM); energy levels;  $B(E2)$  transition rates; square of rotational energy.

**Physics classification :** QC770-798

\*The Research is a part of on M SC. this is in the case of the first researcher.